# Review of the 2013–2014 winter influenza season, northern hemisphere

This report summarizes the chronology, epidemiology and virology of the 2013–2014 winter influenza season in the temperate regions of the northern hemisphere, covering influenza activity data collected from October 2013 until the end of April 2014. The data presented have been derived primarily from reports published by national ministries of health or other official bodies reporting on their behalf, or reported to WHO through FluNet¹ or FluiID.²

Transmission characteristics, illness and mortality data are presented by geographic region: North America, Europe, North Africa, Middle East and North Asia. Distributions of virus subtypes by transmission zone are shown in *Map 1*. Although detections of influenza in the southern hemisphere are generally sporadic and at low levels during the northern hemisphere winter months, the distributions of the southern hemisphere subtypes are included in the map, but not detailed in the text of this report.

Human influenza transmission usually occurs in the winter months in the northern hemisphere temperate region but the exact timing and duration of the influenza season varies by country and by year. The influenza season can begin as early as October, but typically peaks around January or February. For the purposes of this report, the peak influenza activity is the month with the highest percentage of respiratory specimens testing positive for influenza viruses, and unless otherwise specified, influenza activity is based on the positivity rate for influenza.

## WORLD HEALTH ORGANIZATION Geneva

#### ORGANISATION MONDIALE DE LA SANTÉ Genève

Annual subscription / Abonnement annuel Sw. fr. / Fr. s. 346.—

06.2014 ISSN 0049-8114 Printed in Switzerland

# Analyse de la saison grippale 2013-2014 dans l'hémisphère Nord

Ce compte-rendu récapitule la chronologie, l'épidémiologie et la virologie de la saison grippale hivernale 2013-2014 dans les régions tempérées de l'hémisphère Nord et couvre notamment les données d'activité grippale collectées d'octobre 2013 à fin avril 2014. Les données présentées ici ont été soit tirées majoritairement de rapports publiés par les ministères nationaux de la santé ou par d'autres organismes officiels agissant en leur nom, soit communiquées à l'OMS par le canal de FluNet¹ ou de FluID.²

Les caractéristiques de la transmission et les données de morbidité et de mortalité sont présentées par région géographique: Amérique du Nord, Europe, Afrique du Nord, Moyen-Orient et Asie septentrionale. Les distributions des sous-types viraux par zone de transmission sont représentées sur la *Carte 1*. Bien que les détections de la grippe dans l'hémisphère Sud soient généralement sporadiques et peu nombreuses pendant les mois d'hiver pour l'hémisphère Nord, les distributions des sous-types dans l'hémisphère Sud figurent aussi sur la carte, mais ne sont pas présentées dans le texte de ce compte-rendu.

La transmission de la grippe humaine s'opère habituellement pendant les mois d'hiver dans les régions tempérées de l'hémisphère Nord, mais le moment exact où débute la saison grippale et la durée de celle-ci varient selon les pays et les années. Cette saison peut commencer dès le mois d'octobre mais atteint habituellement un pic d'activité autour du mois de janvier ou de février. Aux fins de ce compte-rendu, le pic d'activité grippale désigne le mois où l'on relève le plus fort pourcentage d'échantillons respiratoires positifs pour les virus grippaux et, sauf mention contraire, l'activité grippale est déterminée à partir du taux de positivité pour la grippe.

FluNet can be accessed online at http://www.who.int/influenza/gisrs\_laboratory/flunet/en/; accessed April 2014.

FluID can be accessed online at http://www.who.int/influenza/ surveillanc monitoring/fluid/en/; accessed April 2014.

Il est possible d'accéder à FluNet en ligne à l'adresse: http://www. who.int/influenza/gisrs\_laboratory/flunet/en/; consulté en avril 2014.

Il est possible d'accéder à FluID en ligne à l'adresse:http://www.who. int/influenza/surveillanc monitoring/fluid/en/; consulté en avril 2014.

# **North America**

#### **Transmission**

In North America, the timing of the season was rather early (Figure 1). The season started in November, with very small increases seen throughout the month. In late December and early January, the season had clearly begun, with the highest peak in activity occurring during the second week of January. Influenza activity began to decrease during late January through February, but overall activity remained at a high level. During March and April, activity levels continued to decrease. A late season increase in influenza B virus circulation in April slowed the decline in activity and resulted in a slight prolongation of the season.

Influenza A(H1N1)pdm09 was the predominant virus in the region, differing from the 2012–2013 season when A(H3N2) was predominant. As in 2012–2013, influenza B activity increased later in the season, after peak activity had passed and when overall influenza detections were relatively infrequent.

In Canada, influenza activity in 2013–2014 reached levels almost as high as those experienced in the 2012–2013 season, during which influenza activity was particularly intense.

In the United States of America (USA), influenza A(H1N1)pdm09, A(H3N2) and influenza B were all detected during the season, with A(H1N1)pdm09 predominating. Similar to the situation in Canada, as A(H1N1)pdm09 circulation declined, influenza B circulation increased. This was the first season in which the A(H1N1)pdm09 virus circulated at high levels since the 2009–2010 influenza season. Overall influenza activity was less intense than in the 2012–2013 season, which was characterized by unusually high influenza activity. This season's activity was greater than in 2011–2012 and comparable to that in the 2010–2011 season.

In Mexico, A(H1N1)pdm09 was also the predominant virus during the season, with very low levels of A(H3N2) and influenza B virus detected. However, during the 2012–2013 season, only influenza B and A(H3N2) viruses were detected. The 2013–2014 season was characterised by high influenza activity levels similar to those in the 2011–2012 season, which was also a season with predominantly A(H1N1)pdm09 activity, and unlike the 2012–2013 and 2010–2011 seasons, when lower levels of influenza activity occurred with predominance of A(H3N2).

# Morbidity and mortality

In Canada,<sup>3</sup> the reported influenza-like illness (ILI) rates were slightly above the usual range this season while hospitalizations and deaths from seasonal influenza were comparable to those in previous seasons. Influenza A(H1N1)pdm09 virus primarily affected adults aged 20–64 years, which is similar to the mainly affected age groups during the pandemic and differs from the

# Amérique du Nord

#### **Transmission**

En Amérique du Nord, le déroulement dans le temps de la saison grippale a été plutôt précoce (Figure 1). Cette saison a débuté en novembre, avec de très faibles progressions au cours du mois. Fin décembre et début janvier, la saison avait clairement commencé, le plus fort pic d'activité étant apparu pendant la deuxième semaine de janvier. L'activité grippale a entamé sa baisse à la fin du mois de janvier, qui s'est poursuivie au cours du mois de février, mais globalement l'activité est restée élevée. En mars et en avril, les niveaux d'activités ont continué de diminuer. Une augmentation en fin de saison de l'activité du virus grippal B a ralenti le déclin de l'activité et entraîné une légère prolongation de la saison.

Le virus grippal Influenza A(H1N1)pdm09 a été prédominant dans la région, à la différence de la saison 2012-2013 pendant laquelle le virus A(H3N2) occupait une place prépondérante. Comme pour la saison précédente, l'activité de la grippe B a augmenté tardivement, lorsque le pic d'activité était déjà passé et que globalement, les détections de la grippe étaient relativement rares

Au Canada, l'activité grippale pendant la saison 2013-2014 a atteint des niveaux quasiment aussi élevés que ceux observés lors de la saison 2012-2013, au cours de laquelle l'activité grippale avait été particulièrement intense.

Aux Etats-Unis, les virus grippaux influenza A(H1N1)pdm09, A(H3N2) et B ont tous été détectés pendant la saison, avec une prédominance du virus A(H1N1)pdm09. Comme au Canada, lorsque la circulation du virus A(H1N1)pdm09 a diminué, celle du virus grippal B s'est amplifiée. Il s'agissait de la première saison donnant lieu à la circulation du virus A(H1N1)pdm09 à des niveaux élevés depuis la saison 2009-2010. D'une manière générale, l'activité grippale a été moins intense que pendant la saison 2012-2013, caractérisée par une activité inhabituellement forte. Cette saison, l'activité a été plus intense que pendant la saison 2011-2012, mais comparable à celle de la saison 2010-2011.

Au Mexique, le virus grippal prédominant cette saison a également été le virus A(H1N1)pdm09, avec de très faibles niveaux de détection des virus A(H3N2) et B. Pourtant, au cours de la saison 2012-2013, seuls ces 2 derniers virus ont été détectés. La saison 2013-2014 a été caractérisée par des niveaux élevés d'activité grippale, similaires à ceux enregistrés pendant la saison 2011-2012, également dominée par l'activité du virus A(H1N1)pdm09, et contrastant avec les saisons 2012-2013 et 2010-2011, pendant lesquelles les niveaux d'activité de la grippe étaient plus bas, avec une prédominance du virus A(H3N2).

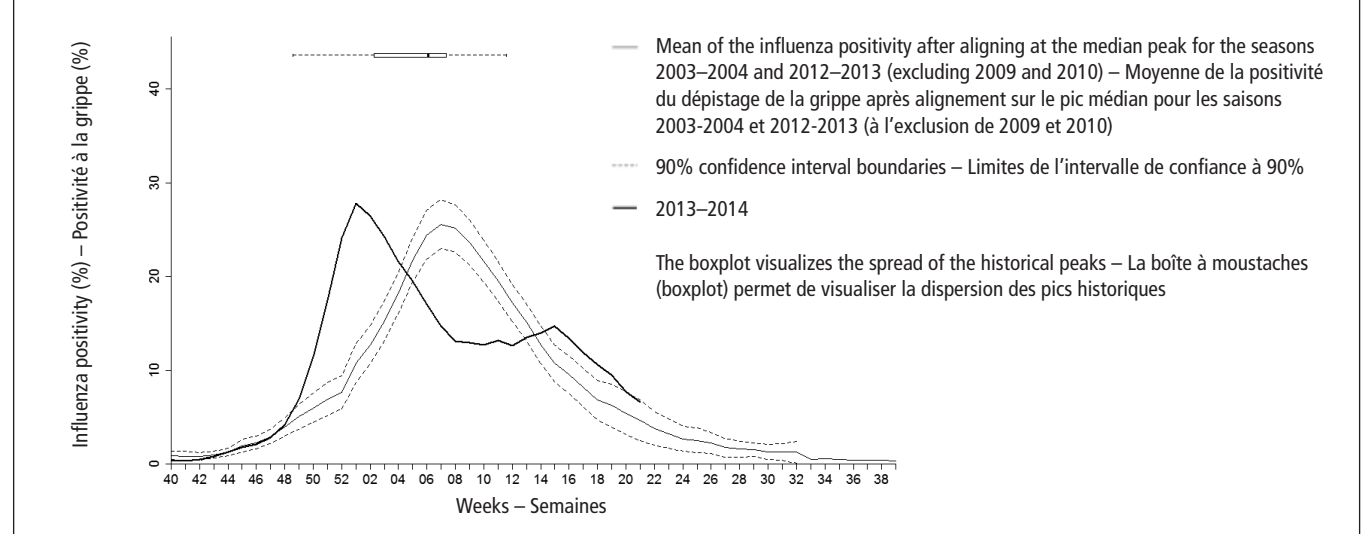
### Morbidité et mortalité

Au Canada,<sup>3</sup> les taux rapportés de syndromes de type grippal (STG) étaient légèrement supérieurs cette saison aux valeurs habituelles, tandis que les nombres d'hospitalisations et de décès étaient comparables à ceux enregistrés pendant les saisons antérieures. Le virus grippal A(H1N1)pdm09 infectait principalement les adultes de 20-64 ans, soit une situation similaire à celle observée pendant la pandémie pour les principales

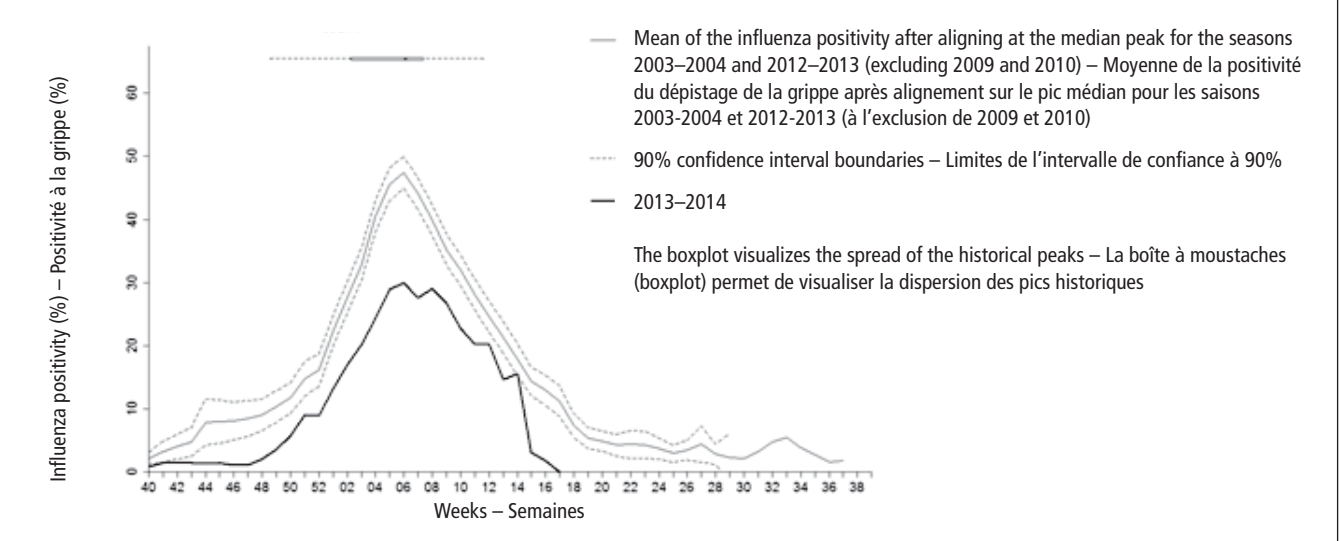
<sup>&</sup>lt;sup>3</sup> FluWatch, http://www.phac-aspc.gc.ca/fluwatch /; accessed May 2014.

<sup>&</sup>lt;sup>3</sup> FluWatch, http://www.phac-aspc.gc.ca/fluwatch/; consulté en mai 2014.

#### North America - Amérique du Nord



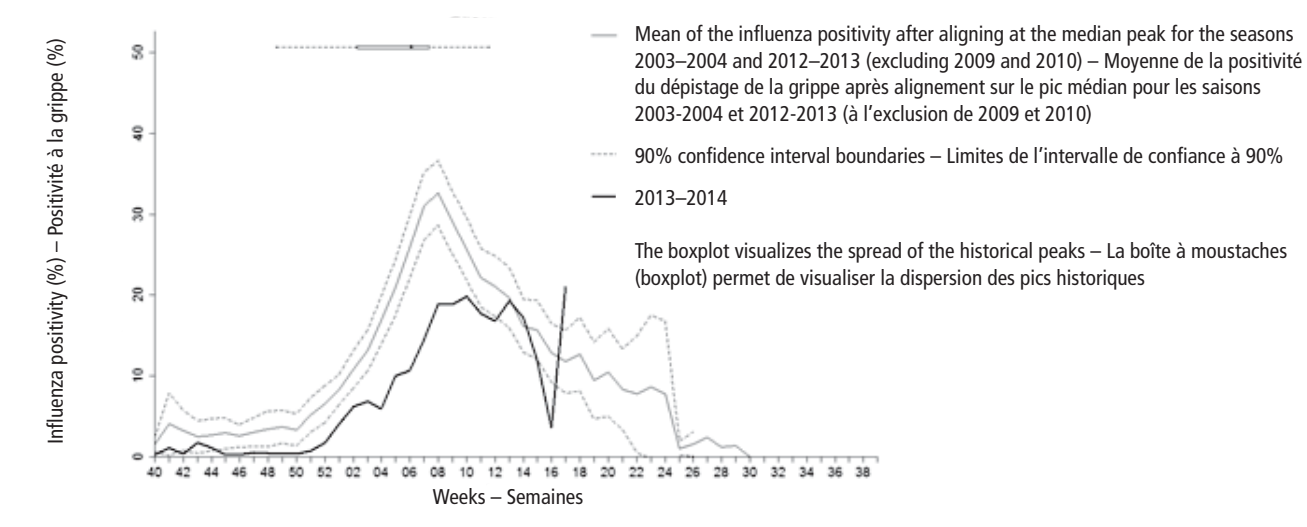
#### Northern Europe and Southwestern Europe – Europe du Nord et Europe du Sud-Ouest



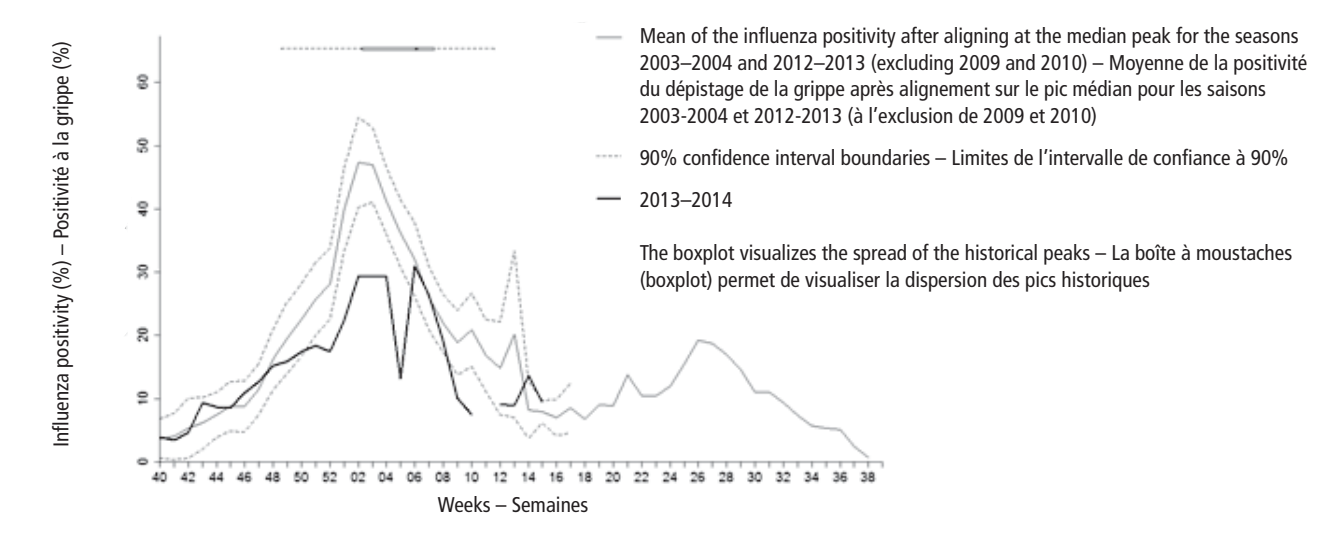
Current season approximated influenza positivity compared to historical trends based on FluNet data as of 27 April 2014. This figure includes an historical average by week of the percentage of specimens testing positive for influenza virus over the past several years for which data are available and the same data from the 2013-2014 season. Influenza positivity was calculated by dividing the number of samples processed (and if this was not available, the samples received) by the total influenza positives per week. Weeks with fewer than 15 samples and the pandemic year 2009 were excluded. Curves were smoothed using a 3 week moving average. Curves for previous years were aligned at the median peak week for the years analysed and the mean value for each week, and the 90% confidence interval (CI, using a t-test) was calculated. The data of 2013–2014 are shown by their actual chronological week. The boxplot visualizes the spread of the historical peaks, with 50% of all peaks within the time frame of the box, the dot representing the median week of the historical peaks and the end of the lines representing the minimum and maximum week of the historical peaks. For more details on the methods used, see appendix 8 of the WHO interim global epidemiological surveillance standards for influenza at: http://www.who.int/influenza/surveillance\_monitoring/en/ — Comparaison de la positivité pour la grippe approximée pour la saison actuelle avec les tendances historiques dégagées des données de FluNet au 27 avril 2014. La figure présente notamment une moyenne historique par semaine du pourcentage d'échantillons testés positifs pour un virus grippal sur les dernières années pour lesquelles on disposait de données et le même paramètre pour la saison 2013-2014. On calcule la positivité en divisant le nombre d'échantillons traités (si ce nombre n'est pas disponible, celui des échantillons reçus) par le nombre total d'échantillons positifs pour la grippe par semaine. Les semaines où le nombre d'échantillons était inférieur à 15 et l'année pandémique 2009 ont été exclues. Les courbes ont été lissées en utilisant une moyenne mobile sur 3 semaines. Les courbes pour les années analysées, au niveau de la semaine correspondant au pic médiane pour les années analysées, et la valeur moyenne pour chaque semaine ainsi que l'intervalle de confiance à 90% (IC, à l'aide du test t) ont été calculés. Les données de 2013-2014 sont présentées selon leur semaine chronologique réelle. La boîte à moustaches permet de visualiser la diffusion des pics historiques, 50% des pics se trouvant dans le cadre temporel défini par la boîte, le point représentant la semaine moyenne des pics historiques et l'extrémité des lignes indiquant la semaine la plus proche et la semaine la plus éloignée pour les pics historiques. Pour en savoir plus sur les méthodes utilisées, se référer à l'appendice 8 du document WHO interim global epidemiological surveillance standards for influenza disponible sur http://www. who.int/influenza/surveillance\_monitoring/en/.



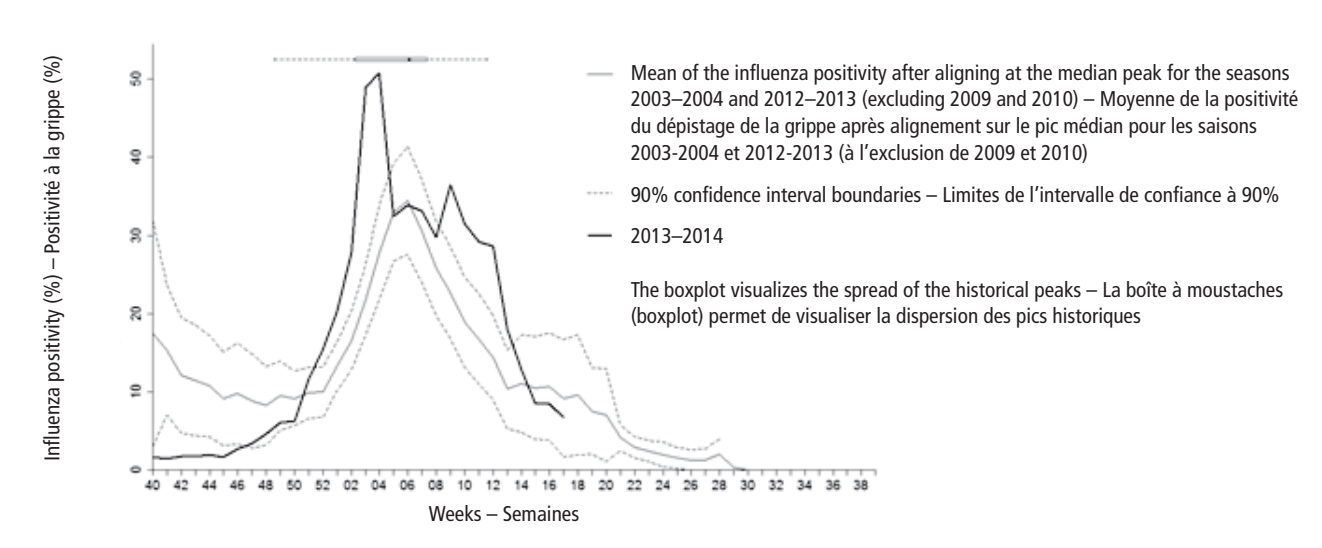
## Eastern Europe – Europe de l'Est



### Northern Africa - Afrique du Nord



# Central Asia and Eastern Asia – Asie centrale et Asie orientale



previous season during which those aged ≥65 years were particularly affected. Late circulating influenza B had a greater impact among adults aged ≥65 years, as well as in children aged 5–19 years. The Public Health Agency of Canada conducted a survey in February 2014 and estimated that 39% of the Canadian population received the 2013–2014 seasonal influenza vaccine, with higher coverage rates of 69.5% in Canadians aged ≥65 years.

In the USA the ILI rates were slightly below those in the previous season, but above the rates in 2010-2011 and 2011-2012. More severe disease was seen this season in younger age groups, with persons aged 18-64 years accounting for approximately 60% of all reported hospitalized cases. The affected age distribution differed from the 2012-2013 season when people aged ≥65 accounted for about half of the hospitalized cases. The occurrence of increased hospitalizations among younger people was also seen during the 2009 pandemic. Among all hospitalizations reported from October until the end of April, 89.1% were associated with influenza A, 9.9% with influenza B, 0.5% with influenza A and B co-infection, and 0.5% had no virus type information. Among those with influenza A virus subtype information, 95.2% were A(H1N1)pdm09 and 4.8% were A(H3N2). Intensive care unit (ICU) admission among hospitalized cases was slightly higher than in the previous season, with 21.9% admitted to ICU this season compared to 15.7% last season.4 The most commonly reported underlying medical conditions among hospitalized adults were obesity, metabolic disorders, cardiovascular disease, and chronic lung disease (excluding asthma). Approximately 12% of the hospitalized adults had no identified underlying medical conditions. Less paediatric deaths were reported than in the 2012–2013 season. The percentage of all deaths that were attributed to pneumonia and influenza reported through the 122 Cities Mortality and Reporting System peaked at 8.8% at the end of January, which is above the epidemic threshold set at 7.3%. This peak was slightly lower than in the previous season, which had an unusually high peak at 9.8%.

In Mexico, various indicators showed that influenza contributed to increased incidence of severe respiratory disease this season. Both acute respiratory infection (ARI) and pneumonia rates reached higher levels than expected for the time of year, mainly in the northern and central regions of the country.<sup>5</sup> Of the reported deaths caused by influenza, >90% were attributed to the A(H1N1)pdm09 virus. The proportion of ILI-associated medical visits peaked at 3.8% during late January and early February, and ARI activity went above the highest alert zone. By late April, the proportion of ILI-associated medical visits had decreased to 0.6%.

tranches d'âge touchées et différente du schéma de la saison antérieure, dans lequel les sujets ≥65 ans étaient particulièrement affectés. La circulation tardive du virus grippal B a eu un impact plus important chez les adultes ≥65 ans et chez les enfants de 5-19 ans. L'Agence de la santé publique du Canada a mené une enquête en février 2014 et estimé que 39% de la population canadienne avait reçu le vaccin antigrippal pour la saison 2013-2014, avec des taux de couverture supérieurs à 69,5% chez les Canadiens ≥65 ans.

Aux États-Unis les taux de STG étaient légèrement inférieurs à ceux relevés la saison précédente, mais plus élevés que les taux des saisons 2010-2011 et 2011-2012. Des maladies plus graves ont été observées cette saison parmi les tranches d'âge inférieur, les sujets de 18-64 ans représentant approximativement 60% de l'ensemble des cas hospitalisés notifiés. La répartition par âge de la maladie différait de celle de la saison 2012-2013, dans laquelle la moitié des cas hospitalisés étaient des individus de ≥65 ans. Une augmentation des hospitalisations chez les plus jeunes a aussi été observée lors de la pandémie de 2009. Parmi toutes les hospitalisations notifiées d'octobre à fin avril, 89,1% étaient associées à la grippe A, 9,9% à la grippe B et 0,5% à une co-infection par les grippes A et B et pour les 0,5% restants, on ne disposait d'aucune information sur le type de virus. Parmi les cas de grippe A pour lesquels on disposait d'informations sur le sous-type viral, 95,2 % étaient dus au virus A(H1N1) pdm09 et 4,8% au virus A(H3N2). Parmi les patients hospitalisés, les admissions en unité de soins intensifs étaient légèrement plus nombreuses que la saison précédente, avec 21,9% d'admissions cette saison dans une telle unité contre 15,7% la saison précédente.4 Les pathologies sous-jacentes les plus fréquemment rapportées parmi les adultes hospitalisés étaient l'obésité, les troubles métaboliques, les maladies cardiovasculaires et les maladies pulmonaires chroniques (à l'exclusion de l'asthme). Chez approximativement 12% des adultes hospitalisés, aucune affection sous-jacente n'avait été identifiée. Un nombre plus faible de décès pédiatriques a été notifié pendant la saison 2012-2013. Le pourcentage de l'ensemble des décès attribuables à une pneumonie ou à une grippe, rapporté par le "122 Cities Mortality and Reporting System", a atteint un pic de 8,8% à la fin du mois de janvier, valeur supérieure au seuil épidémique fixé à 7,3%. Ce pic est légèrement inférieur à celui observé la saison précédente, qui atteignait la valeur inhabituelle de 9,8%.

Au Mexique, divers indicateurs ont montré que la grippe avait contribué à augmenter l'incidence des maladies respiratoires sévères cette saison. Les taux d'infections respiratoires aiguës (IRA), comme les taux de pneumonie, ont atteint des niveaux plus élevés qu'attendu pour cette période de l'année, principalement dans les régions septentrionales et centrales du pays.<sup>5</sup> Parmi les décès notifiés comme dus à la grippe, >90% étaient attribués au virus A(H1N1)pdm09. Le pourcentage des consultations médicales pour STG a culminé à 3,8% fin janvier et début février et l'activité des IRA a dépassé la zone d'alerte maximale. À la fin du mois d'avril, ce pourcentage des consultations pour STG avait chuté à 0,6%.

<sup>&</sup>lt;sup>4</sup> CDC FLUVIEW-interactive at http://www.cdc.gov/flu/weekly/fluviewinteractive.htm; accessed April 2014.

<sup>5</sup> PAHO Influenza and Other Respiratory Viruses weekly Situation Report at http:// www.paho.org/hq/index.php?option=com\_content&view=article&id=3352&Item id=2469: accessed April 2014.

Voir CDC FLUVIEW-interactive à l'adresse: http://www.cdc.gov/flu/weekly/fluviewinteractive. htm; consulté en avril 2014.

<sup>5</sup> PAHO Influenza and Other Respiratory Viruses weekly Situation Report at http://www.paho.org/ hq/index.php?option=com\_content&view=article&id=3352&Itemid=2469; accessed April 2014.

## **Europe, North Africa, and the Middle East**

#### **Transmission**

In Europe, influenza activity started later than usual this season, with very small increases during the final weeks of December, followed by more marked increases throughout January (Figure 1). As in the 2012-2013 season, eastern Europe experienced a slightly later start than western Europe. Overall activity continued to increase through February, peaking in the middle of the month. However, when analysing different subregions and countries, the peak was variable. The 2013-2014 European season was characterized by large variability in trend, predominant virus, and intensity between countries. In general activity declined in March, with the exception of a few countries, but remained above inter-seasonal levels until April. Compared to the previous season, influenza activity during the 2013-2014 season was less intense, with fewer positive samples detected. At the height of the 2012-2013 season, sample positivity peaked at rates of about 60%, while this season sample positivity peaked at rates of about 40%.6

Very few countries reported periods of high intensity activity this season, with the exception of Bulgaria, Greece, The Republic of Moldova, and The Former Yugoslav Republic of Macedonia.7 In the remaining countries, low or medium activity characterised the 2013-2014 season. Influenza A(H1N1)pdm09 and A(H3N2) viruses co-circulated throughout the region with variability in predominance among the different countries. Overall, influenza A(H1N1)pdm09 was predominant in most northern European countries and A(H3N2) was predominant in most eastern European countries as well as Germany, Ireland, Luxembourg and Spain. Compared to the previous season, which had higher proportions of A(H1N1)pdm09 and influenza B detections, there was increased A(H3N2) circulation and decreased influenza B circulation. Towards the later stages of the season, there were slight increases in the proportion of A(H3N2) to A(H1N1)pdm09 detections, but overall detections declined. Unlike North America, which experienced increased late-season circulation of influenza B, detections of influenza B in Europe remained low.

In the Middle East and North Africa the season was variable, with the countries experiencing different trends and levels of activity. Some increases in activity were seen in early January, particularly from Egypt, Islamic Republic of Iran, Jordan, and Turkey. Overall, influenza intensity appeared to be lower than in the previous season, and activity remained low in some areas.

Influenza A(H1N1)pdm09, A(H3N2), and influenza B were all detected in the Middle East and North Africa, and the predominant virus varied by country. Influenza B circulation increased slightly during the latter

## Europe, Afrique du Nord et Moyen-Orient

#### **Transmission**

En Europe, l'activité de la grippe a débuté plus tard cette saison qu'à l'habitude, avec de très faibles progressions pendant les dernières semaines de décembre, suivies d'augmentations plus marquées tout au long du mois de janvier (Figure 1). Comme pendant la saison 2012-2013, l'Europe orientale a connu un démarrage légèrement plus tardif que l'Europe occidentale. L'activité globale a continué d'augmenter pendant le mois de février, en atteignant un pic au milieu de ce mois. Néanmoins, une analyse par sous-région et par pays fait apparaître une variabilité de ce pic. La saison grippale 2013-2014 en Europe a été caractérisée par grandes variations dans les tendances, les virus prédominants et l'intensité entre les pays. D'une manière générale, l'activité a décliné en mars, sauf dans quelques pays, mais s'est maintenue au-dessus des niveaux intersaisonniers jusqu'en avril. Par rapport à la saison précédente, l'activité grippale a été moins intense pendant la saison 2013-2014, avec un nombre plus faible d'échantillons testés positifs. Au plus fort de la saison 2012-2013, la positivité des échantillons avait culminé à des taux de 60% environ, alors que les pics atteints cette saison par ce paramètre se situaient autour de 40%.6

Les pays ont été très peu nombreux à signaler des périodes d'activité vraiment intense cette saison, exception faite de la Bulgarie, de l'Ex-République yougoslave de Macédoine, de la Grèce et de la République de Moldova.7 Dans les autres pays, la saison 2013-2014 s'est caractérisée par une activité faible à moyenne. Les virus A(H1N1)pdm09 et A(H3N2) ont co-circulé dans l'ensemble de la région avec une prédominance variable selon les pays. Globalement, la grippe A(H1N1)pdm09 a prédominé dans la plupart des pays d'Europe du Nord et la grippe A(H3N2) dans la plupart des pays d'Europe orientale ainsi qu'en Allemagne, en Espagne, en Irlande et au Luxembourg. Par rapport à la saison précédente, qui avait donné lieu à la détection de plus forts pourcentages de grippes A(H1N1)pdm09 et B, on a observé une circulation accrue du virus A(H3N2) et une diminution de celle du virus grippal B. Vers les derniers stades de la saison, il y a eu de légères augmentations des pourcentages de virus A(H3N2) et A(H1N1)pdm09 parmi les détections, mais celles-ci ont décliné dans leur ensemble. A la différence de l'Amérique du Nord, l'Europe n'a pas vécu d'amplification tard dans la saison de la circulation du virus grippal B, les détections de ce virus restant faibles sur ce continent.

Au Moyen-Orient et en Afrique du Nord, la saison s'est déroulée de manière variable, avec des tendances et des niveaux d'activité différents selon les pays. On a relevé certaines augmentations de l'activité début janvier, notamment en Égypte, en Jordanie, en République islamique d'Iran et en Turquie. Globalement, l'intensité grippale a semblé plus basse que la saison précédente et l'activité est restée faible dans certaines zones.

Les grippes (H1N1)pdm09, A(H3N2) et B ont toutes été détectées au Moyen-Orient et en Afrique du Nord, le virus prédominant étant variable selon les pays. La circulation du virus grippal B s'est amplifiée légèrement dans les derniers stades de la saison,

<sup>&</sup>lt;sup>6</sup> European Centre for Disease Prevention and Control Weekly Influenza Surveillance overview and infographic at http://www.ecdc.europa.eu/en/healthtopics/seasonal\_influenza/Pages/index.aspx; accessed April 2014.

WHO European Region EuroFlu Bulletin at http://euroflu.org/; accessed April 2014.

Voir European Centre for Disease Prevention and Control Weekly Influenza Surveillance overview and infographic à l'adresse://www.ecdc.europa.eu/en/healthtopics/seasonal\_influenza/Pages/index.aspx; consulté en avril 2014.

<sup>&</sup>lt;sup>7</sup> Voir WHO European Region EuroFlu Bulletin à l'adresse: http://euroflu.org/; consulté en avril 2014.

stages of the season, particularly during the month of March. Egypt experienced intense levels of A(H1N1) pdm09 activity, resulting in a particularly severe season. The Islamic Republic of Iran, Jordan, and Turkey saw increased A(H3N2) activity during the early part of the season, followed by a late-season increase of influenza B as the influenza A detections began to decline. Jordan's influenza season peaked earlier than in some other countries in the region, with more activity reported in December. Israel reported circulation of all 3 subtypes, with activity peaking slightly later than in other countries in Middle East and North Africa. A similar pattern was also reported from Pakistan.

## Morbidity and mortality

With the exception of some countries with high A(H1N1) pdm09 virus activity, illness and mortality rates in Europe, North Africa, and the Middle East were not high. In Europe the pooled all-cause mortality data from the 16 European countries reported to the European Mortality Monitoring Project (EuroMOMO), showed that overall all-cause mortality has been around average levels during the 2013-2014 season.8 Individual country analyses from EuroMOMO during the 2013-2014 season show an increase in all-cause mortality in a few countries. In Spain, an increase in all-cause mortality in the 15-64 year age group was seen in early 2014. In Ireland, an increase in all-cause mortality was seen in those aged ≥65 years in early February. The excess mortality may be related to increased influenza intensity in these countries, but other factors may also be involved. The percentage of positive sentinel ILI/ARI specimens in Europe was consistently lower each week of this season compared to the previous season. For the patients hospitalized as of the end of April, 37% were aged 40-64 years and 37% were aged ≥64 years. Among hospitalized cases, 99% were caused by influenza A and 1% by influenza B viruses. Of the subtyped influenza A viruses from the hospitalized patients, 74% were A(H1N1) pdm09 and 26% were A(H3N2). Of the fatal cases reported, 99% were caused by influenza A [81% A(H1N1)] pdm09, 19% A(H3N2)] and 1% by influenza B. A higher proportion of A(H1N1)pdm09 viruses was detected in patients in intensive care units than in other hospitalized patients.

Turkey reported an increase in ILI cases throughout

en particulier pendant le mois de mars. L'Égypte a connu des niveaux très élevés d'activité du virus A(H1N1)pdm09, d'où une saison grippale particulièrement sévère. La Jordanie, la République islamique d'Iran et la Turquie ont vécu une augmentation de l'activité du virus A(H3N2) pendant la première partie de la saison, suivie d'une montée en puissance de la grippe B en fin de saison, au moment où les détections de grippe A commençaient à décliner. En Jordanie, le pic saisonnier est apparu plus tôt que dans d'autres pays de la région, avec une activité plus importante signalée en décembre. Israël a notifié la circulation des 3 sous-types, avec un pic d'activité intervenant légèrement plus tard que dans d'autres pays du Moyen-Orient et d'Afrique du Nord. Un schéma similaire a été rapporté au Pakistan.

#### Morbidité et mortalité

A l'exception de certains pays ayant subi une forte activité du virus A(H1N1)pdm09, les taux de morbidité et de mortalité n'ont pas été élevés en Europe, en Afrique du Nord et au Moyen-Orient. Concernant l'Europe, les données de mortalité toutes causes confondues rapportées par les 16 pays au Projet européen de surveillance de la mortalité (EuroMOMO) ont montré que la mortalité toutes causes confondues globale était restée à des niveaux moyens pendant la saison 2013-2014.8 Des analyses par pays des données de l'EuroMOMO pour la saison 2013-2014 ont fait apparaître un accroissement de la mortalité toutes causes confondues dans un petit nombre de pays. En Espagne, une augmentation de ce paramètre a été observée dans la tranche d'âge 15-64 ans début 2014. En Irlande, c'est dans la tranche d'âge des ≥65 ans qu'une telle augmentation a été relevée au début du mois de février. L'excès de mortalité peut être lié à un accroissement de l'intensité de la grippe dans ces pays, mais d'autres facteurs peuvent aussi être en cause. Le pourcentage d'échantillons positifs chez des cas de STG ou d'IRA en provenance sites sentinelles européens était régulièrement inférieur chaque semaine à celui observé la saison précédente. Parmi les patients hospitalisés fin avril, 37% étaient âgés de 40-64 ans et 37% ≥64 ans. Sur les cas admis à l'hôpital, 99% étaient dus à la grippe A et 1% à la grippe B. Parmi les virus grippaux A sous-typés provenant de patients hospitalisés, 74% étaient des virus A(H1N1)pdm09 et 26% des virus A(H3N2). Parmi les cas mortels notifiés, 99% étaient dus à la grippe A [81% au virus A(H1N1)pdm09, 19% au virus A(H3N2)] and 1% à la grippe B. Un plus fort pourcentage de virus A(H1N1)pdm09 a été détecté chez les patients admis en soins intensifs que chez les autres patients hospitalisés.

La Turquie a signalé une augmentation du nombre de cas de

预览已结束,完整报告链接和二维码如下:

https://www.yunbaogao.cn/report/index/report?reportId=5 27826

